

**ВЛИЯНИЕ ПОПЕРЕЧНОГО ГРАДИЕНТА
КОНЦЕНТРАЦИИ НОСИТЕЛЕЙ ЗАРЯДА
НА РАСПРЕДЕЛЕНИЕ ХОЛЛОВСКОГО ПОТЕНЦИАЛА
В ПОЛУПРОВОДНИКЕ**

Веденеев А. С., Дмитриев С. Г., Рыльков В. В., Шагимуратов О. Г.

Принято считать, что в случае неоднородного распределения концентрации свободных носителей заряда по толщине образца обычные измерения эффекта Холла позволяют получить сведения лишь о среднем ее значении [1]. При этом, однако, до сих пор не обращалось внимание на то обстоятельство, что в ряде практически важных случаев, в частности при измерениях эффекта Холла в условиях существования поперечного градиента концентрации носителей заряда, оказывается возможным нахождение не только среднего значения концентрации, но и характерной глубины, определяющей ее распределение по толщине образца. Покажем это.

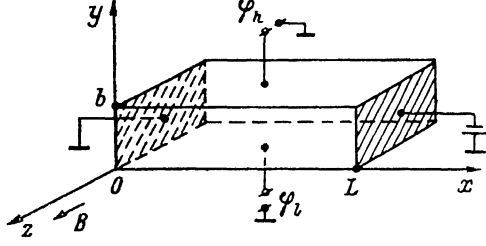


Рис. 1. Расположение образца и схема его включения.

ϕ_h , ϕ_l — потенциалы холловских зондов; V — напряжение, приложенное к образцу; L , b — длина и ширина образца соответственно.

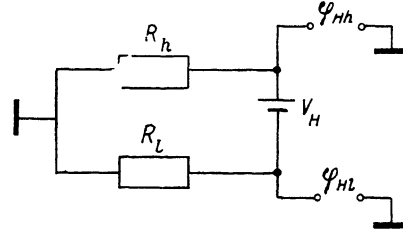


Рис. 2. Упрощенная эквивалентная схема образца.

$V_H = |\phi_{Hh} - \phi_{Ll}|$ — ЭДС Холла; R_h , R_l — соответственно сопротивления верхней и нижней частей образца, разделенного плоскостью $y=const$, на которой холловский потенциал $\phi_{Hl}=0$.

Будем считать, что концентрация носителей заряда p в образце является функцией только одной координаты y (рис. 1). Такая ситуация может возникнуть, например, при совпадении координаты y с осью роста кристалла, вдоль которой примеси распределены обычно неоднородно [2], при облучении поверхности полупроводника светом из области примесного поглощения и т. д. Направим магнитное поле B вдоль оси z и измерим потенциалы холловских зондов ϕ_h и ϕ_l относительно земли. Значения ϕ_h и ϕ_l можно представить в виде суммы двух слагаемых, одно из которых (ϕ_0) определяется тянущим электрическим полем, а другое (ϕ_{Hh} , ϕ_{Ll}) — возникающим в образце холловским полем ϕ_h , $\phi_l = \phi_0 + \phi_{Hh}$, ϕ_{Ll} . Очевидно, что в условиях, когда холловская подвижность носителей заряда по толщине образца постоянна ($\mu_H = const$), разность потенциалов ($\phi_{Hh} - \phi_{Ll}$) определяется только тянущим электрическим полем E_x и тангенсом холловского угла $\theta = \mu_H B$ и не зависит от вида функции $p(y)$. В то же время абсолютные значения холловских потенциалов ϕ_{Hh} и ϕ_{Ll} в неоднородном случае могут оказаться неодинаковыми. Это непосредственно вытекает из анализа упрощенной эквивалентной схемы образца, показанной на рис. 2. Так, например, если концентрация носителей заряда максимальна у нижней грани образца и монотонно спадает к противоположной грани образца, что соответствует $R_l > R_h$ (рис. 2), то холловский потенциал этой грани ϕ_{Hl} , естественно, должен быть меньше, чем потенциал верхней грани ϕ_{Hh} , причем отличие $|\phi_{Hh}|$ от $|\phi_{Hl}|$ должно быть тем больше, чем меньше характерная глубина (l) спада концентрации носителей заряда.

Для определения зависимости отношения ϕ_{Hl}/ϕ_{Hh} от l найдем распределение холловского потенциала по толщине образца $\phi_H(y)$. С этой целью воспользуемся

уравнениями переноса носителей заряда в полупроводнике при наличии магнитного поля, которые для стационарного случая имеют вид [3]

$$\mathbf{j} = -\hat{\sigma} \operatorname{grad} \varphi, \quad (1)$$

$$\operatorname{div} \mathbf{j} = 0, \quad (2)$$

где \mathbf{j} — плотность тока, φ — электрохимический потенциал, $\hat{\sigma}$ — тензор электропроводности. Для изотропного полупроводника

$$\hat{\sigma} = \begin{pmatrix} \sigma & 0 \\ 0 & \sigma \end{pmatrix}. \quad (3)$$

В рассматриваемом случае компонента σ является функцией координаты y , поскольку $\sigma \propto p$ [3]. Подставляя (1) и (3) в (2), получаем уравнение, описывающее распределение потенциала,

$$\frac{\partial^2 \varphi}{\partial x^2} + \frac{\partial^2 \varphi}{\partial y^2} - p^{-1} \frac{\partial p}{\partial y} \left(0 \frac{\partial \varphi}{\partial x} - \frac{\partial \varphi}{\partial y} \right) = 0. \quad (4)$$

Для нахождения $\varphi(x, y)$ дополним это уравнение граничными условиями

$$\begin{aligned} \varphi(0, y) &= 0, \\ \varphi(L, y) &= V, \end{aligned} \quad (5)$$

$$j_y(x, 0) = j_y(x, b) = 0, \quad (6)$$

где L — длина образца, b — его толщина (рис. 1). Первое из них вытекает из эквипотенциальности токовых контактов, а второе соответствует отсутствию нормальной составляющей тока на нижней и верхней гранях образца.

Введем характерную длину $l = -p(d p / d y)^{-1}$, полагая, что концентрация носителей заряда изменяется по экспоненциальному закону (например, носители заряда в полупроводнике генерируются примесным монохроматическим излучением). Кроме того, ограничившись приближением слабого магнитного поля $\theta = \mu_H B \ll 1$, будем искать решение в виде $\varphi = E_x x + \varphi_H(x, y)$. Упростив (4) и (6) с учетом сделанных приближений, получаем решение задачи

$$\begin{aligned} \varphi_H(x, y) &= \theta E_x \left(y - l + \frac{b}{e^{b/l} - 1} \right) - \theta E_x e^{y/l} \frac{2b^2}{\pi^3} \sum_{k=1}^{\infty} [1 + (-1)^{k+1} e^{-b/2l}] \times \\ &\times \frac{k}{\left(k^2 + \frac{b^2}{4\pi^2 l^2} \right)^2} \frac{\operatorname{ch} \left[\sqrt{\left(\frac{\pi k}{b} \right)^2 + \frac{1}{4l^2}} \left(x - \frac{L}{2} \right) \right]}{\operatorname{ch} \left[\sqrt{\left(\frac{\pi k}{b} \right)^2 + \frac{1}{4l^2}} \frac{L}{2} \right]} \times \\ &\times \left[\frac{1}{2l} \sin \left(\frac{\pi k}{b} y \right) - \frac{\pi k}{b} \cos \left(\frac{\pi k}{b} y \right) \right] \end{aligned} \quad (7)$$

($k=0, 1, 2, \dots$), которое при $l/b \gg 1$ совпадает с известным решением, полученным в [4] для однородного случая.

Из (7) следует, что на расстоянии от токовых контактов, превышающем $x_0 = \left(\frac{\pi^2}{b^2} + \frac{1}{4l^2} \right)^{-1/2}$, холловский потенциал в объеме полупроводника распределен по закону

$$\varphi_H(x, y) \approx \theta E_x \left(y - l + \frac{b}{e^{b/l} - 1} \right). \quad (8)$$

Другими словами, шунтирование ЭДС Холла практически отсутствует, если холловские зонды удалены от токовых контактов на расстояние $\geq x_0$. Подставляя в (8) значения $y=0$ и $y=b$, получаем выражения для φ_{H0} и φ_{Hb} , устанавливающие связь между искомой длиной l и измеряемыми в опыте величинами.

Авторы выражают благодарность А. Г. Ждану и Т. М. Лифшизу за ценные замечания и внимание к работе, А. Г. Шафрану за проведение предварительных экспериментов, стимулировавших работу.

Список литературы

- [1] Кучис Е. В. Методы исследования эффекта Холла. М., 1974. 328 с.
- [2] Медведев С. А. Введение в технологию полупроводниковых материалов. М., 1970. 504 с.
- [3] Зеегер К. Физика полупроводников. М., 1977. 615 с.
- [4] Доброльский В. М., Гриценко Ю. И. // ФТТ. 1962. Т. 4. В. 10. С. 2760—2769.

Институт радиотехники и электроники
АН СССР
Москва

Получено 2.01.1990
Принято к печати 14.02.1990

ФТП, том 24, вып. 6, 1990

ТЕМПЕРАТУРНОЕ ГАШЕНИЕ ФОТОПРОВОДИМОСТИ В АМОРФНОМ ГИДРИРОВАННОМ КРЕМНИИ, СЛАБО ЛЕГИРОВАННОМ БОРОМ

Казанский А. Г., Миличевич Е. П., Уразбаева Р. А.

Легирование аморфного гидрированного кремния ($a\text{-Si : H}$) малыми концентрациями бора используется для создания высокоомных фоточувствительных слоев. К настоящему времени фотоэлектрические свойства данных материалов исследованы значительно меньше, чем свойства нелегированного и сильно легированного $a\text{-Si : H}$.

В настоящей работе исследована фотопроводимость (σ_{ϕ}) слабо легированных бором пленок $a\text{-Si : H}$ толщиной 1 мкм, полученных разложением моносилана (SiH_4) в ВЧ тлеющем разряде при температуре подложки 250 °C. Легирование осуществлялось добавлением в реакционную камеру диборана в соотношении $[\text{B}_2\text{H}_6]/[\text{SiH}_4]=10^{-6}$. Перед измерениями образцы отжигались при $T_a=180$ °C в течение 30 мин в вакууме 10^{-3} Па. Температурные зависимости фотопроводимости при энергии кванта $h\nu=1.9$ эВ и интенсивности $2 \cdot 10^{14}$ кВ/см 2 с изменились в процессе повышения температуры со скоростью 1 град/мин. Знак термоэдс в исследованных образцах соответствовал дырочному типу проводимости, что согласуется с данными работ [1, 2] для аналогичных уровней легирования. Температурные зависимости темновой проводимости в области температур 280—480 К имели активационный характер с энергией активации 0.83 эВ.

На рис. 1 показаны температурные зависимости σ_{ϕ} пленки $a\text{-Si : H}$, легированной бором. Здесь же для сравнения приведены данные для нелегированного $a\text{-Si : H}$. Как видно из рисунка, в области $T < 250$ К легированный бором образец имеет более резкую по сравнению с нелегированным $a\text{-Si : H}$ активационную зависимость $\sigma_{\phi}(1/T)$. Энергия активации ($\Delta E_f^?$) составляет (0.27 ± 0.01) эВ. Согласно [3], в случае переноса носителей по делокализованным состояниям и захвата их на рекомбинационные состояния с уровнем прилипания величина $\Delta E_f^?$ соответствует положению эффективного уровня прилипания для основных носителей (в нашем случае дырок — $E_f^?$) относительно края зоны (в нашем случае валентной).

Для исследованного образца в области температур 330—400 К наблюдается температурное гашение фотопроводимости (ТГФ), которое для слабо легированных бором пленок $a\text{-Si : H}$ отмечалось также в работе [2]. Измеренная нами зависимость величины ТГФ от энергии кванта показала, что ТГФ возникает при $h\nu > 1.6$ эВ, достигает максимума при $h\nu=(1.9-2.0)$ эВ и затем уменьшается. ТГФ наблюдалось при возбуждении образца как со стороны свободной поверхности, так и со стороны подложки. Это указывает на объемную природу эффекта.

ТГФ при $T < 250$ К в нелегированных пленках $a\text{-Si : H}$, в которых σ_{ϕ} определяется электронами, хорошо известно [2, 4-7]. Различные модели [4, 6] связывают ТГФ с наличием эффективного уровня прилипания для неосновных